

مقیاس‌بندی و بررسی تغییرات مکانی ویژگی‌های نفوذ آب در خاک در مقیاس حوزه آبریز (مطالعه موردي: دشت باجگاه)

فاطمه مهرابی* و علیرضا سپاسخواه**

*نگارنده مسئول، نشانی: شیراز، باجگاه، دانشگاه شیراز، دانشکده کشاورزی، گروه مهندسی آب، تلفن: ۰۷۲۲-۲۲۲۲۹۲۸، پیامنگار: mehrabi_223@yahoo.com

**به ترتیب: کارشناسی ارشد مهندسی آبیاری و زهکشی؛ و استاد بخش مهندسی آب دانشکده کشاورزی، دانشگاه شیراز
تاریخ دریافت: ۹۰/۱۲/۲۱؛ تاریخ پذیرش: ۹۱/۶/۱۸

چکیده

به منظور تخمین پارامترهای نفوذ آب در مقیاس منطقه، مطالعه تغییرپذیری مکانی خصوصیات نفوذ آب در خاک ضروری است. بر پایه آزمایش‌هایی روی پساب تصفیه شده در حوضه آبریز باجگاه، این پژوهش به مقیاس‌بندی (scaling) پارامترهای نفوذ آب مدل دو جزئی فیلیپ و تحلیل تغییرپذیری مکانی خصوصیات نفوذ آب در خاک با استفاده از روش‌های مقیاس‌بندی و زمین‌آمار پرداخته است. سی آزمایش نفوذ آب در یک الگوی تصادفی در منطقه مورد مطالعه با استفاده از استوانه‌های دوگانه اجرا شد. خصوصیات نفوذ آب منطقه، سرعت نفوذ پایه کمی را برای اکثر مکان‌ها نشان می‌دهد (۰/۰۰۱ تا ۰/۱۷۸ سانتی‌متر در دقیقه). مدل فیلیپ به عنوان یک مدل مناسب برای توصیف فرآیندهای نفوذ آب به داده‌های اندازه‌گیری شده برازش شد. پارامترهای این مدل (ضریب جذب S و فاکتور انتقال A) تغییرات وسیعی در مکان‌های آزمایشی نشان دادند. فاکتور مقیاس‌بندی بر اساس ضریب جذب a_S و فاکتور انتقال a_A محاسبه و داده‌های نفوذ آب مقیاس‌بندی شدند. نتایج نشان می‌دهد که مقیاس‌بندی با a_A بهتر از مقیاس‌بندی با a_S است. سپس، فاکتورهای بهینه a_{opt} با استفاده از روش حداقل مربعات (گزینه Solver) به دست آمد و مقیاس‌بندی داده‌های نفوذ آب تکرار شد. مقیاس‌بندی با استفاده از میانگین‌های حسابی، هندسی، و هارمونیک فاکتورهای مقیاس‌بندی a_S و a_A نیز انجام شد. نتایج نشان می‌دهد که a_A و فاکتور مقیاس‌بندی a_A داده‌های نفوذ آب را از دیگر فاکتورها مقیاس‌بندی مؤثرتر (مجموع مرتع خطاها کمتر) می‌کنند. نتایج این پژوهش نشان می‌دهد که منطقه مورد مطالعه تغییرپذیری مکانی وسیعی دارد و نقشه تغییرات مکانی فاکتور مقیاس‌بندی a_A با استفاده از نرم‌افزار ArcGIS نیز نشان می‌دهد که مقدار این فاکتور از مرکز به اطراف، با کم شدن مقدار رس خاک، افزایش می‌یابد.

واژه‌های کلیدی

تغییرپذیری مکانی، ضریب جذب، فاکتور انتقال، فاکتور مقیاس‌بندی، مدل دو جزئی فیلیپ

RANDMAN و اتلاف آب می‌شود. دانستن خصوصیات نفوذ آب

مقدمه

در خاک از اطلاعات پایه‌ای مورد نیاز برای طراحی سیستم‌های آبیاری است (Machiwal *et al.*, 2006). بنابراین، ارزیابی دقیق نفوذپذیری خاک ضروری است و مهندس طراح باید به آن توجه داشته باشد.

مهم‌ترین مشخصه فیزیکی خاک از نظر آبیاری، نفوذ آب در خاک است. در آبیاری، کاربرد مؤثر آب بستگی به ظرفیت نفوذ آب در خاک دارد. دقیق نبودن اندازه‌گیری این فرآیند در خاک‌های آبیاری شده، باعث پایین آمدن

و ضریب جذب محاسبه شده و داده‌های نفوذ اندازه‌گیری شده با استفاده از آن‌ها مقیاس‌بندی شدند. فاکتور مقیاس‌بندی شده بر اساس فاکتور انتقال نتایج بهتری را نشان داد.

اهوجا و همکاران (Ahuja *et al.*, 2007) پارامترهای معادله نفوذ آب لوئیس-کوستیاکف را بر اساس روابط بین پارامترهای این معادله و هدایت هیدرولیکی اشباع مؤثر مقیاس‌بندی کردند و رسول‌زاده و سپاسخواه (Rasoulzadeh & Sepaskhah, 2003) با استفاده از روش تحلیل ابعادی برای مقیاس‌بندی، یک رابطه نفوذ مقیاس‌بندی شده را برای آبیاری جویچه‌ای برای شش سری خاک به دست آوردند.

اگر چه محققان زیادی تغییرپذیری مکانی را بر اساس خصوصیات هیدرولیکی پایه ارزیابی کردند، شارما و همکاران (Sharma *et al.*, 1980) پیشنهاد می‌کنند که تغییرپذیری هیدرولیکی سطح زمین با پارامترهای کلی ارزیابی شود که به آسانی اندازه‌گیری می‌شوند و در مزرعه قابل اطمینان هستند.

با توجه به این که استفاده از آب‌های با کیفیت پایین در شرایط مناسب و با مدیریت آگاهانه، قابل برنامه‌ریزی و بهره‌برداری اقتصادی است (Hasan-Li & Javan, 2005) و از آن جا که نیاز به آب در کشورهای خشک و نیمه‌خشک پیوسته در حال افزایش است، پیشنهاد می‌شود که آب با کیفیت بالا برای مصارف خانگی نگهداری و از آب با کیفیت پایین برای آبیاری استفاده شود. از جمله این آب‌ها پساب شهری است.

تحقیقات نشان می‌دهد که می‌توان از پساب به عنوان آب آبیاری استفاده کرد بدون این‌که تغییر زیادی در کیفیت محصول و خاک ایجاد شود. با در نظر گرفتن این موضوع و با توجه به این‌که مدل فیلیپ به عنوان یک مدل مناسب برای توصیف

اهمیت فرآیندهای نفوذ آب باعث توسعه مدل‌های تحلیلی ساده، برای پیش‌بینی نفوذ شده است. این مدل‌های نفوذ از کاملاً تجربی (Kostiakov, 1932; Horton, 1940; Holtan, 1961) مدل‌های فیزیکی (Green & Ampt, 1911; Philip, 1957) تغییر می‌کنند. در بین مدل‌های پیشنهادی، تنها تعداد کمی در اغلب مطالعات، روی داده‌های مزرعه‌ای با موفقیت به کار برده شده‌اند (Machiwal *et al.*, 2006).

طراحی سیستم‌های آبیاری نیازمند اندازه‌گیری نفوذ است که به منظور نشان دادن رفتار نفوذ در هر منطقه، باید آزمایش‌های زیادی در مکان‌های مختلف به اجرا درآید تا تغییرپذیری مکانی آن را بیان کند (Bonsu, 1997). مقیاس‌بندی روشی است ساده برای توصیف تغییرپذیری خصوصیات هیدرولیکی خاک (Ahuja *et al.*, 2007)

با توجه به فرض تیلتسون و نیلسون (Tillotson & Nielsen, 1984) دو روش اساسی برای به دست آوردن فاکتورهای مقیاس‌بندی وجود دارد: ۱) روش تحلیل ابعادی که بر پایه وجود تشابه فیزیکی در سیستم است (Miller & Miller, 1956) و ۲) روش تجربی که تابع نرمالیزه شده نامیده شده و بر پایه تحلیل رگرسیون‌گیری^۱ قرار دارد مانند روش واریک و همکاران (Warrick *et al.*, 1977). مقیاس‌بندی بر اساس مفهوم محیط متشابه میلر و میلر نمونه‌ای از روش اول است (Ahuja *et al.*, 2007) که در این پژوهش اتخاذ شده است.

مدل‌سازی نفوذ و تحلیل تغییرپذیری مکانی خصوصیات نفوذ را ماقیوال و همکاران (Machiwal *et al.*, 2006) نیز انجام دادند که در این پژوهش، مدل دو جزئی فیلیپ به عنوان مدل مناسب برای توصیف فرآیندهای نفوذ معرفی شد. پارامترهای این مدل (S و A) تغییرپذیری وسیعی را در مکان‌های آزمایشی نشان می‌دهد. فاکتور مقیاس‌بندی بر اساس فاکتور انتقال

مقیاس‌بندی و بررسی تغییرات مکانی ویژگی‌های نفوذ...

مناطق نیمه‌خشک است. میانگین دمای سالانه ۱۳/۳۸ درجه‌سلسیوس و عرض جغرافیایی، طول جغرافیایی، ارتفاع منطقه از سطح دریا به ترتیب ۴۶° ، ۳۸° ، ۵۲° و ۱۸۱۰ متر است. حداقل میزان مرطوب ۱۰۰ درصد و میانگین رطوبت نسبی ۵۱ درصد است. میانگین باران سالانه (از سال ۱۳۵۰ تا ۱۳۸۸) حدود ۳۹۳ میلی‌متر است که حداقل بارندگی در ماه‌های سرد سال می‌بارد. این منطقه دارای شش سری خاک است که مشخصات آن‌ها در جدول ۱ ارائه شده است. نفوذ آب در خاک در همهٔ بافت‌ها به جز بافت شکاربانی اندازه‌گیری شد. فعالیت‌های کشاورزی رایج در منطقه شامل کشت گندم، ذرت، و محصولات جالیزی است.

فرآیندهای نفوذ معرفی شده که پارامترهای آن به سادگی قابل اندازه‌گیری است، در این پژوهش، به مقیاس‌بندی بر اساس مفهوم محیط متشابه و بررسی تغییرات مکانی ویژگی‌های نفوذ آب در خاک با استفاده از پساب تصفیه شده پرداخته شده است.

مواد و روش‌ها

خصوصیات منطقه مورد مطالعه

زمین‌های زراعی دانشکده کشاورزی دانشگاه شیراز واقع در ۱۶ کیلومتری شمال شرقی شیراز در دشت باجگاه برای اجرای این پژوهش انتخاب شد. این ناحیه جزء

جدول ۱- بعضی از خصوصیات فیزیکی خاک‌های باجگاه (Sepaskhah, 1996)

بافت	درصد ذرات			عمق (سانانی‌متر)	نام سری خاک
	رس	سیلت	شن		
لوم	۱۳	۴۷	۴۰	۰-۲۰	کوی اساتید
لوم	۲۴	۳۶	۴۰	۲۰-۵۵	
لوم	۱۳	۴۱	۴۶	۰-۱۵	
لوم	۲۱	۳۰	۴۹	۱۵-۵۰	
لوم شنی	۸	۳۵	۵۷	۰-۲۰	
لوم شنی	بیش از ۷۵ درصد سنگریزه و قلوه سنگ			۲۰-۷۰	شکاربانی
لوم رسی	۳۰	۳۵	۳۵	۰-۳۰	دانشکده
لوم رسی	۳۹	۳۸	۲۳	۳۰-۵۴	
لوم رسی	۲۹	۴۷	۲۴	۰-۲۵	
لوم رسی	۳۸	۳۹	۲۳	۲۵-۷۰	
لوم رسی	۳۲	۴۷	۲۱	۰-۲۰	
لوم رسی سیلتی	۳۹	۴۲	۱۹	۲۰-۸۰	پمپ نمازی

آزمایش‌های نفوذ انتخاب شد که مختصات محلی (UTM) هر نقطه با دستگاه GPS به دست آمد. سعی شد این نقاط در سطوح هموار زمین‌های زراعی باشد، و به دلیل این‌که اکثر زمین‌های منطقه کشت شده یا شخم خورده بودند، اندازه‌گیری‌ها اغلب در گوششها و اطراف قطعات

طرح آزمایشی و اندازه‌گیری نفوذ

آزمایش نفوذ با استفاده از استوانه‌های دوگانه با بار ثابت اجرا شد. آب مورد استفاده در این آزمایش‌ها پساب تصفیه شده بود که برخی خصوصیات آن در جدول ۲ آمده است. سی مکان از منطقه به صورت تصادفی برای

نگه داشته شد تا واگرایی جریان آب در خاک به علت جریان جانبی غیر همگام، که بزرگترین منبع خطأ در آزمایش نفوذ است کاهاش باید (Bouwer *et al.*, 1999; Machiwal *et al.*, 2006) عمق آب درون استوانه نیز که ممکن است باعث واگرایی شود (Bouwer *et al.*, 1999; Machiwal *et al.*, 2006) طول آزمایش تا حد ممکن در ارتفاع ثابت نگه داشته شد (حدود ۱۰ سانتی‌متر).

اراضی به انجام رسید. همچنین سعی شد اندازه‌گیری‌ها کل منطقه را پوشش دهند تا امکان تحلیل تغییرپذیری مکانی فرآیند نفوذ فراهم شود. استوانه‌های دوگانه ۱۵-۱۰ سانتی‌متر در زمین کوبیده شدند. بوته‌های گیاه در محل آزمایش از سطح زمین جدا شدند. استوانه‌ها روی سطوح بدون درز و ترک کوبیده شدند و سرعت پایین آمدن آب در استوانه داخلی اندازه‌گیری شد. مقدار آب در استوانه خارجی نیز در سطح تقریباً یکسانی با استوانه داخلی

جدول ۲- خصوصیات شیمیایی پساب مورد استفاده

پارامتر	غلاظت
PO_4^{3-2}	۶/۷۷ (میلی‌گرم بر لیتر)
P	۲/۰۸۹ (میلی‌گرم بر لیتر)
NO_3^{-1}	۱۲/۶ (میلی‌گرم بر لیتر)
BOD	۲۸/۲۳ (میلی‌گرم بر لیتر)
COD	۶۰/۸ (میلی‌گرم بر لیتر)
TSS	۶۸/۷ (میلی‌گرم بر لیتر)
TDS	۱۰/۱۶ (میلی‌گرم بر لیتر)
Na	۱۸۶/۲۴ (میلی‌گرم بر لیتر)
K	۱۹/۹۴ (میلی‌گرم بر لیتر)
Cl	۱۶۱ (میلی‌گرم بر لیتر)
SO_4^{2-}	۲۵۵ (میلی‌گرم بر لیتر)
pH	۷/۷
EC	۲/۲۱۵ (دسی‌زیمنس بر متر)

$$I(t) = St^{1/2} + At \quad (1)$$

که در آن، I = کل نفوذ آب در واحد سطح (میلی‌متر)؛ S = ضریب جذب (میلی‌متر بر جذر دقیقه)؛ A = فاکتور انتقال (میلی‌متر بر دقیقه) که به خصوصیات خاک و رطوبت اولیه و اشباع خاک بستگی دارد؛ و t = زمان نفوذ (دقیقه) است. سرعت نفوذ بر حسب میلی‌متر بر دقیقه با رابطه ۲ ارائه می‌شود:

$$i(t) = \frac{St^{-1/2}}{2} + A \quad (2)$$

مدل فیلیپ

نتایج تحقیقات بسیاری از محققان نشان می‌دهد که مدل فیلیپ بهترین مدل تطبیقی نفوذ آب برای توصیف خصوصیات مکانی نفوذ برای هر خاک خاص است. این مدل به دلیل سهولت در تخمین پارامترها و این‌که می‌تواند زمان را به صورت تابع ضمنی از نفوذ تجمعی و بالعکس بیان کند، انتخاب شده است (Machiwal *et al.*, 2006).

مدل نفوذ فیلیپ به صورت رابطه ۱ است (Philip, 1957)

ابعادی پارامترهای مدل فیلیپ، ضریب جذب S و فاکتور انتقال A می‌تواند به صورت روابط ۵ و ۶ مقیاس‌بندی شود (Philip, 1957, 1987)

$$S_j / \lambda_j^{1/2} = S_r / \lambda_r^{1/2} \quad (5)$$

$$A_j / \lambda_j^2 = A_r / \lambda_r^2 \quad (6)$$

که در آن‌ها،

λ به صورت طول مشخصه خاک در یک مکان مشخص تعریف شده است، اندیس j مکان آزمایش و اندیس r خاک مرجع با خصوصیات متوسط آب-خاک را نشان می‌دهد. اگر شرایط محیط کاملاً متشابه صدق کند، مقدار λ در روابط ۵ و ۶ یکسان است. فاکتور مقیاس‌بندی دیگری که بدون بعد است (α) می‌تواند به صورت رابطه ۷ تعریف شود:

$$\alpha_j = \lambda_j / \lambda_r = \lambda_j / \bar{\lambda} \quad (7)$$

که در آن،

$\bar{\lambda}$ طول مشخصه خاک مرجع با خصوصیات آب خاک میانگین است و برای چنین خاک‌هایی فاکتور مقیاس‌بندی باید برابر واحد باشد. روش مقیاس‌بندی در مورد مدل فیلیپ به کار برده شده است (Machiwal *et al.*, 2006; Lei *et al.*, 1986). با توجه به این روش و با استفاده از روابط ۵ تا ۷، فاکتورهای مقیاس‌بندی بدون بعد برای A و S ، یعنی α_S و α_A برای n آزمایش نفوذ می‌تواند به صورت روابط ۸ و ۹ محاسبه شود:

$$\alpha_{Sj} = (S_j / \bar{S})^2 \quad (8)$$

و

$$\alpha_{Aj} = (A_j / \bar{A})^{1/2} \quad (9)$$

که در آن‌ها میانگین ضریب جذب \bar{S} برابر است با:

$$\bar{S} = \frac{1}{n} \sum_{j=1}^n S_j \quad (10)$$

که در آن،

نحوه آب در خاک است. پارامترهای مدل فیلیپ (S و A) پارامترهای کلی (Bulk parameters) نامیده می‌شوند، اول به این دلیل که در مقایسه با نمونه‌های دست‌خوردهای که معمولاً برای تعیین خصوصیات هیدرولیکی استفاده می‌شوند، در محل در حجم بزرگتری از خاک اندازه‌گیری می‌شوند و دوم این که تأثیر فاکتورهای دیگر مؤثر بر فرایند نفوذ از جمله سوراخ‌های درشت، میزان رطوبت اولیه، بافت خاک، و ساختمان خاک را در نظر می‌گیرد (Sharma *et al.*, 1980).

از سوی دیگر، در شرایطی که خاک ناهمگن باشد یا مقدار رطوبت اولیه‌ی خاک در عمق یکنواخت نباشد، مقدار A در رابطه ۱ ممکن است منفی به دست آید که غیر واقعی است. در این صورت، به کمک رابطه ۳ و رگرسیون خطی چند متغیره که در آن عدد ثابت صفر در نظر گرفته شود، می‌توان مقادیر C_1 ، C_2 و C_3 را به دست آورد، پس از آن از رابطه ۴، A تخمین زده خواهد شد و برابر با C_1 می‌شود (Sepaskhah, 1996).

$$I = C_1 t^{1/2} + C_2 t + C_3 t^{3/2} \quad (3)$$

$$A \approx (3C_1 C_3)^{1/2} + C_2 \quad (4)$$

تئوری مقیاس‌بندی^۱

از روش مقیاس‌بندی برای تعیین تغییرپذیری مکانی ویژگی‌های هیدرولیکی خاک به طور گسترده استفاده شده است (Nielsen *et al.*, 1998; Warrick & Nielsen, 1980). هدف اصلی روش مقیاس‌بندی این است که یک سری روابط تابعی را با استفاده از فاکتورهای مقیاس‌بندی، که همه سری‌ها را کامل توصیف می‌کند، به یک منحنی تبدیل کند. مفهوم روش مقیاس‌بندی از تئوری تشابه هندسی میکروسکوپی بسط داده می‌شود که میلر و میلر (Miller & Miller, 1956) ارائه داده‌اند. بر اساس تحلیل

\bar{A}) انتخاب شده است (گزینه Solver). بنابراین، SSE با

رابطه ۱۵ محاسبه می‌شود:

$$SSE = \sum_{t_j^*} (I_{t_j^*}^* - \bar{I}_{t_j^*})^2 \quad (15)$$

که در آن،

مجموع همه مقادیر t_j^* ، کل زمان آزمایش نفوذ را در بر می‌گیرد و اندیس زیازه‌های زمانی در هر آزمایش نفوذ را مشخص می‌کند.

تعیین میانگین و انحراف معیار هندسی ذرات خاک

برای رسیدن به رابطه‌ای ساده‌تر که طی آن بتوان تنها با داشتن پارامترهای زودیافت خاک فاکتور مقیاس‌بندی را به دست آورد، سعی شد رابطه‌ای بین a_A با پارامترهای زودیافت خاک به دست آید. با استفاده از پارامترهای زودیافت خاک می‌توان میانگین هندسی (d_g) و انحراف معیار هندسی (σ_g) را محاسبه کرد (Shirazi & Boersma, 1984). لذا روابط مورد نظر بین a_A با d_g و σ_g از طریق رگرسیون گیری به دست آمد.

نتایج و بحث

مشخصات نفوذ آب در خاک‌های منطقه

معادلات نفوذ تجمعی و سرعت نفوذ برآشش شده به داده‌های اندازه‌گیری شده و همچنین تحلیل آماری آن در جدول ۳ ارائه شده است. میانگین سرعت نفوذ پایه برای کل ۳۰ آزمایش نفوذ ۰/۰۶۱۹ سانتی‌متر در دقیقه است و مقادیر حداکثر و حداقل به ترتیب ۰/۱۷۸ و ۰/۰۰۱ سانتی‌متر در دقیقه به دست آمد. مقایسه داده‌های اندازه‌گیری شده و منحنی میانگین که نشان‌دهنده نفوذ تجمعی بر پایه میانگین ضریب جذب و فاکتور انتقال در منطقه است (شکل ۱)، نشان می‌دهد که پراکندگی داده‌ها اطراف منحنی میانگین زیاد است که نشان‌دهنده تغییرپذیری زیاد خصوصیات نفوذ در منطقه است.

و میانگین فاکتور انتقال \bar{A} برابر است با:

$$\bar{A} = \frac{1}{n} \sum_{j=1}^n A_j \quad (11)$$

نفوذ اندازه‌گیری شده $I(t)$ می‌تواند با استفاده از a_S یا a_A با توجه به رابطه‌های ۱۲ و ۱۳ مقیاس‌بندی شود (Sharma et al., 1980)

$$I^* = \alpha I \quad (12)$$

و

$$t^* = \alpha^3 t \quad (13)$$

که در آن،

I^* و t^* به ترتیب نفوذ تجمعی و زمان مقیاس‌بندی شده هستند و α می‌تواند هر یک از فاکتورهای مقیاس‌بندی (a_{opt} ، a_A ، a_S و میانگین‌های حسابی، هندسی و هارمونیک) باشد که بر اساس آن، نفوذ و زمان مقیاس‌بندی میانگین، از فاکتور مقیاس‌بندی a_S و a_A در هر نقطه میانگین حسابی، هندسی، و هارمونیک گرفته شد و سپس نسبت به این میانگین‌ها مقیاس‌بندی انجام گرفت.

اگر نفوذ را بتوان در هر مکان به طور مناسب با مدل دو جزئی فیلیپ تقریب زد (رابطه ۱) و شرایط محیط کاملاً متشابه باشد، خصوصیت نفوذ همه مکان‌ها در شکل مقیاس‌بندی شده باید به صورت رابطه ۱۴ توصیف شود:

$$I^* = \bar{S} t^{*1/2} + \bar{A} t^* \quad (14)$$

در این مورد، مجموع مربع خطاهای (SSE) داده‌های اصلی (در جایی که منحنی میانگین با \bar{S} و \bar{A} توصیف شود) و داده‌های مقیاس‌بندی شده مقایسه شدند.

فاکتورهای مقیاس‌بندی همچنین با استفاده از بهینه‌سازی آماری محاسبه شده است. با استفاده از روابط ۱۲ و ۱۳، فاکتور مقیاس‌بندی بهینه a_{opt} برای هر آزمایش نفوذ با حداقل کردن تفاضل مجموع مربعات SSE بین نفوذ مقیاس‌بندی شده I^* و نفوذ میانگین (\bar{I}) بر پایه \bar{S} و

جدول ۳- معادلات نفوذ تجمعی و سرعت نفوذ برآش داده شده به داده‌های اندازه‌گیری شده و پارامترهای آماری آن

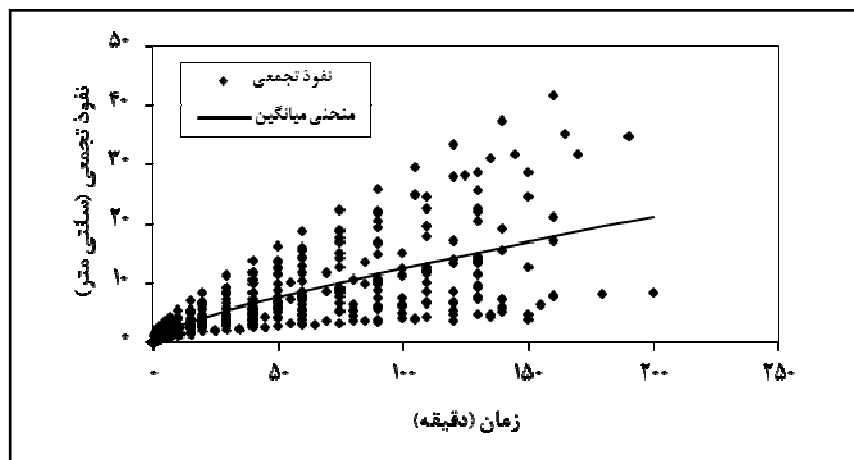
P*	SE**	n ^t	R ^{tt}	رابطه سرعت نفوذ (سانسیتی بر دقيقه)	رابطه نفوذ تجمعی (سانسیتی متر)	Y (متر)	X (متر)
۲/۲۹E-۱۷	۰/۱۳	۱۷	۰/۹۹	۰/۵۱۷t ^{-۰/۰} + ۰/۰۰۴	۱/۰۳۴t ^{-۰/۰} + ۰/۰۰۴t	۳۲۹۰۵۸۴	۶۵۲۹۸۵
۷/۰۱E-۱۷	۰/۱۱	۱۵	۰/۹۹	۰/۱۴۵t ^{-۰/۰} + ۰/۰۰۹	۰/۲۸۹t ^{-۰/۰} + ۰/۰۰۹t	۳۲۹۰۶۸۵	۶۵۲۹۵۹
۹/۰۳E-۲۰	۰/۰۶	۱۶	۰/۹۹	۰/۲۱۵t ^{-۰/۰} + ۰/۰۱۷	۰/۴۲۹t ^{-۰/۰} + ۰/۰۱۷t	۳۲۹۱۲۴۴	۶۵۲۴۱۴
۳/۱۸E-۲۴	۰/۰۴	۱۶	۰/۹۹	۰/۱۵۹t ^{-۰/۰} + ۰/۰۰۹	۰/۳۱۹t ^{-۰/۰} + ۰/۰۰۹t	۳۲۹۰۰۲۲	۶۵۲۴۴۹
۹/۴۷E-۲۵	۰/۰۵	۱۷	۰/۹۹	۰/۲۲۴t ^{-۰/۰} + ۰/۰۰۹	۰/۶۴۸t ^{-۰/۰} + ۰/۰۲۶t	۳۲۸۹۶۲۴	۶۵۲۸۳۳
۳/۱۹E-۲۴	۰/۱۳	۱۹	۰/۹۹	۰/۳۶۸t ^{-۰/۰} + ۰/۰۲۲	۰/۷۳۶t ^{-۰/۰} + ۰/۰۲۲t	۳۲۸۹۷۶۹	۶۵۰۰۱۵
۸/۶۷E-۳۲	۰/۱۴	۱۸	۰/۹۹	۰/۳۷۸t ^{-۰/۰} + ۰/۱۶۴	۰/۷۵۵t ^{-۰/۰} + ۰/۱۶۴t	۳۲۹۰۰۴۶	۶۵۳۶۷۹
۸/۹۶E-۲۶	۰/۰۶	۱۶	۰/۹۹	۰/۲۰۹t ^{-۰/۰} + ۰/۰۳۳	۰/۴۱۸t ^{-۰/۰} + ۰/۰۳۳t	۳۲۹۱۱۸۵	۶۵۳۹۵۱
۱/۱۳E-۲۶	۰/۲۱	۱۸	۰/۹۹	۰/۵۰۸t ^{-۰/۰} + ۰/۰۴۹	۱/۰۱۷t ^{-۰/۰} + ۰/۰۴۹t	۳۲۹۱۴۹۷	۶۵۳۶۷۷
۲/۹۰E-۲۹	۰/۱۱	۱۸	۰/۹۹	۰/۳۸۴t ^{-۰/۰} + ۰/۰۴۹	۰/۷۲۷t ^{-۰/۰} + ۰/۰۴۹t	۳۲۹۱۶۵۸	۶۵۲۷۶۶
۳/۰۴E-۳۰	۰/۰۶	۱۷	۰/۹۹	۰/۲۰۹t ^{-۰/۰} + ۰/۰۷۳	۰/۴۱۷t ^{-۰/۰} + ۰/۰۷۳t	۳۲۹۰۱۵۸	۶۵۴۱۵۰
۱/۳۹E-۳۴	۰/۱۶	۱۹	۰/۹۹	۰/۵۲۴t ^{-۰/۰} + ۰/۱۷۸	۱/۰۴۹t ^{-۰/۰} + ۰/۱۷۸t	۳۲۹۰۳۶۹	۶۵۴۲۷۳
۵/۷۷E-۲۷	۰/۰۶	۱۶	۰/۹۹	۰/۲۱۷t ^{-۰/۰} + ۰/۰۶۹	۰/۴۳۴t ^{-۰/۰} + ۰/۰۶۹t	۳۲۹۰۳۷۲	۶۵۳۹۹۵
۶/۲۲E-۲۷	۰/۱۲	۱۸	۰/۹۹	۰/۳۴۱t ^{-۰/۰} + ۰/۰۴۴	۰/۴۸۳t ^{-۰/۰} + ۰/۰۴۴t	۳۲۹۰۷۳۵	۶۵۲۵۶۸
۴/۱۰E-۳۲	۰/۱۹	۱۹	۰/۹۹	۰/۴۵۱t ^{-۰/۰} + ۰/۱۴۴	۰/۹۰۳t ^{-۰/۰} + ۰/۱۴۴t	۳۲۹۲۴۰۳	۶۵۲۱۰۲
۶/۱۱E-۲۴	۰/۱۰	۱۷	۰/۹۹	۰/۲۹۶t ^{-۰/۰} + ۰/۰۰۱	۰/۵۹۳t ^{-۰/۰} + ۰/۰۰۱t	۳۲۹۱۷۱۹	۶۵۱۵۶۶
۴/۳۰E-۲۶	۰/۱۱	۱۷	۰/۹۹	۰/۳۹۴t ^{-۰/۰} + ۰/۰۵۳	۰/۵۸۸t ^{-۰/۰} + ۰/۰۵۳t	۳۲۹۱۹۳۶	۶۵۱۷۳۰
۱/۳۱E-۳۷	۰/۱۲	۲۰	۱/۰۰	۰/۴۶۶t ^{-۰/۰} + ۰/۱۱۵	۰/۹۳۲t ^{-۰/۰} + ۰/۱۱۵t	۳۲۹۲۰۴۸	۶۵۰۸۷۹
۵/۱۶E-۲۲	۰/۲۰	۱۷	۰/۹۹	۰/۱۴۳t ^{-۰/۰} + ۰/۰۷۹	۰/۲۸۶t ^{-۰/۰} + ۰/۰۷۹t	۳۲۹۱۸۹۳	۶۵۲۳۷۰
۷/۴۴E-۲۹	۰/۰۷	۱۷	۰/۹۹	۰/۲۴۶t ^{-۰/۰} + ۰/۰۵۹	۰/۴۹۲t ^{-۰/۰} + ۰/۰۵۹t	۳۲۹۳۰۸۵	۶۵۰۳۴۴
۲/۰۳E-۲۷	۰/۱۴	۱۷	۰/۹۹	۰/۲۵۳t ^{-۰/۰} + ۰/۱۲۹	۰/۵۰۷t ^{-۰/۰} + ۰/۱۲۹t	۳۲۹۳۲۳۸	۶۵۰۷۴۰
۸/۸۲E-۲۷	۰/۰۹	۱۷	۰/۹۹	۰/۱۹۱t ^{-۰/۰} + ۰/۰۶۸	۰/۳۸۲t ^{-۰/۰} + ۰/۰۶۸t	۳۲۹۲۷۶۱	۶۵۱۴۵۳
۱/۴۶E-۲۸	۰/۱۸	۱۸	۰/۹۹	۰/۵۴۲t ^{-۰/۰} + ۰/۰۷۴	۱/۰۸۵t ^{-۰/۰} + ۰/۰۷۴t	۳۲۹۰۶۳۶	۶۵۴۱۲۸
۱/۸۰E-۲۵	۰/۲۴	۱۷	۰/۹۹	۰/۳۴۰t ^{-۰/۰} + ۰/۱۵۷	۰/۶۸۱t ^{-۰/۰} + ۰/۱۵۷t	۳۲۹۲۸۵۳	۶۵۰۱۳۲
۱/۱۸E-۲۰	۰/۱۲	۱۶	۰/۹۹	۰/۲۵۲t ^{-۰/۰} + ۰/۰۱۰	۰/۵۰۴t ^{-۰/۰} + ۰/۰۱۰t	۳۲۹۲۰۷۰	۶۵۰۰۳۹
۹/۹۸E-۲۶	۰/۱۶	۱۷	۰/۹۹	۰/۲۰۳t ^{-۰/۰} + ۰/۱۲۰	۰/۴۰۷t ^{-۰/۰} + ۰/۱۲۰t	۳۲۹۲۲۳۶۲	۶۵۰۱۶۷
۹/۰۵E-۲۲	۰/۱۳	۱۷	۰/۹۹	۰/۲۸۱t ^{-۰/۰} + ۰/۰۰۷	۰/۵۶۲t ^{-۰/۰} + ۰/۰۰۷t	۳۲۹۲۳۲۹	۶۵۱۲۶۱
۹/۱۹E-۲۸	۰/۰۸	۱۷	۰/۹۹	۰/۲۱۹t ^{-۰/۰} + ۰/۰۷۲	۰/۴۳۹t ^{-۰/۰} + ۰/۰۷۲t	۳۲۹۱۳۰۰	۶۵۱۱۳۹
۳/۸۱E-۱۸	۰/۱۰	۱۷	۰/۹۹	۰/۲۳۴t ^{-۰/۰} + ۰/۰۱۲	۰/۶۶۸t ^{-۰/۰} + ۰/۰۱۲t	۳۲۹۲۴۱۸	۶۵۰۸۸۰
۶/۳۴E-۱۶	۰/۱۵	۱۶	۰/۹۹	۰/۰۳۹t ^{-۰/۰} + ۰/۰۱۲	۱/۰۷۸t ^{-۰/۰} + ۰/۰۱۲t	۳۲۹۱۰۱۴	۶۵۲۲۴۲

*Probability Level

**Standard Error

t Observation Number

tt Coefficient of Determination



شکل ۱- منحنی های نفوذ تجمعی و منحنی میانگین ۳۰ مکان آزمایشی در منطقه مورد مطالعه.

گذشته، رطوبت در عمق بیشتر از رطوبت در سطح خاک باشد. در این نقاط مقادیر پارامتر A مدل نفوذ با استفاده از رابطه های ۳ و ۴ اصلاح، و در جدول ۴ ارائه شدند.

خصوصیات پارامترهای مدل (A و S)
تغییرات پارامترهای S و A در ۳۰ مکان آزمایشی در منطقه مورد مطالعه از الگوی مشخصی پیروی نمی کنند (شکل ۲) و رابطه بین S و A معنی دار نیست (ضریب همبستگی $r=0.21$). رابطه بین این دو پارامتر و تحلیل آماری آن نشان دهنده رابطه ضعیف بین پارامتر S و A است (رابطه ۱۶).

$$A = 0.045S + 0.033 \quad (16)$$

$$r^2 = 0.046, n = 30, SE = 0.0525, P = 0.255$$

تالسما (Talsma, 1969) نیز رابطه ضعیفی بین ضریب جذب و هدایت هیدرولیکی گزارش کرده است. در حالی که شارما و همکاران (Sharma *et al.*, 1980) و ماچیوال و همکاران (Machiwal *et al.*, 2006) تمایل به افزایش مقدار S با افزایش مقدار A را گزارش کرده اند.

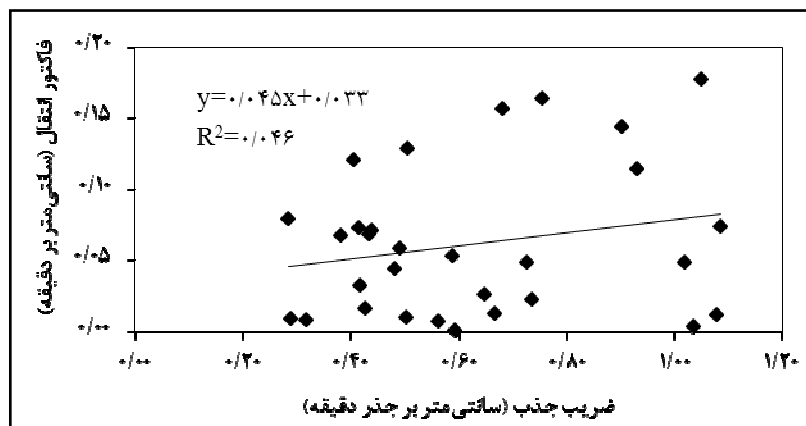
تخمین پارامترهای مدل نفوذ
داده های نفوذ تجمعی اندازه گیری شده در نقاط مختلف به مدل فیلپ برآش شد و با روش حداقل مربعات، پارامترهای مدل (S و A) به دست آمد. پارامترهای به دست آمده از ۳۰ آزمایش نفوذ در جدول ۴ آمده است. حدود پارامتر S (سانتی متر بر جذر دقیقه) بین ۰/۲۸۶ تا ۱/۰۸۵ و مقدار پارامتر A (سانتی متر بر دقیقه) بین ۰/۰۰۱ تا ۰/۱۷۸ تغییر می کند که به تغییر پذیری مکانی خصوصیات هیدرولیکی خاک در منطقه مورد مطالعه اشاره دارد.

پارامتر A مدل نفوذ فیلیپ در پنج مکان آزمایشی (۱، ۳، ۵، ۶، و ۳۰) منفی به دست آمد. این یافته ها اشاره به این موضوع دارد که مدل فیلیپ به داده های نفوذ مشاهده شده در این پنج مکان به خوبی تطابق داده نشده است. این مقادیر منفی می تواند به دلیل ناهمگنی خاک یا غیر یکنواختی رطوبت اولیه خاک در عمق باشد. از آن جا که نقاط انتخابی در کنار زمین های که کشت قرار داشتند، مقادیر منفی می تواند به دلیل غیر یکنواختی رطوبت اولیه خاک در عمق باشد زیرا ممکن است به دلیل آبیاری مزارع در روزهای

مقیاس‌بندی و بررسی تغییرات مکانی ویژگی‌های نفوذ...

جدول ۴- پارامترهای مدل نفوذ فیلیپ برای ۳۰ مکان آزمایشی

نقاط اندازه‌گیری شده	A (سانتی‌متر بر جذر دقیقه)	S (سانتی‌متر بر دقیقه)
۱	۰/۰۰۴	۱/۰۳۴
۲	۰/۰۰۹	۰/۲۸۹
۳	۰/۰۱۷	۰/۴۲۹
۴	۰/۰۰۹	۰/۳۱۹
۵	۰/۰۲۶	۰/۶۴۸
۶	۰/۰۲۲	۰/۷۲۶
۷	۰/۱۶۴	۰/۷۵۵
۸	۰/۰۳۳	۰/۴۱۸
۹	۰/۰۴۹	۱/۰۱۷
۱۰	۰/۰۴۹	۰/۷۲۷
۱۱	۰/۰۷۳	۰/۴۱۷
۱۲	۰/۱۷۸	۱/۰۴۹
۱۳	۰/۰۶۹	۰/۴۳۴
۱۴	۰/۰۴۴	۰/۴۸۳
۱۵	۰/۱۴۴	۰/۹۰۳
۱۶	۰/۰۰۱	۰/۵۹۳
۱۷	۰/۰۵۳	۰/۵۸۸
۱۸	۰/۱۱۵	۰/۹۳۲
۱۹	۰/۰۷۹	۰/۲۸۶
۲۰	۰/۰۵۹	۰/۴۹۲
۲۱	۰/۱۲۹	۰/۵۰۷
۲۲	۰/۰۶۸	۰/۳۸۲
۲۳	۰/۰۷۴	۱/۰۸۵
۲۴	۰/۱۵۷	۰/۶۸۱
۲۵	۰/۰۱۰	۰/۵۰۴
۲۶	۰/۱۲۰	۰/۴۰۷
۲۷	۰/۰۰۷	۰/۵۶۲
۲۸	۰/۰۷۲	۰/۴۳۹
۲۹	۰/۰۱۲	۰/۶۶۸
۳۰	۰/۰۱۲	۱/۰۷۸



شکل ۲- رابطه بین ضریب جذب و فاکتور انتقال منطقه مورد مطالعه.

بهتر با α_{opt} به دست می‌آید. پس از آن، α_A با مقدار SSE کمتر، فاکتور مناسبی برای مقیاس‌بندی است. در جدول ۶ مقادیر S^* و A^* به دست آمده از روش حداقل مربعات برای منحنی‌های خوب برآراش داده شده نیز ارائه شده است.

فاکتورهای مقیاس‌بندی α_A و α_S به طور معنی‌داری با هم متفاوت‌اند که همبستگی ضعیف بین این دو فاکتور این موضوع را ثابت می‌کند (شکل ۵). این نتیجه در مقایسه با خط یک به یک نشان داده شده است (شکل ۵) و پارامترهای آماری معادله‌ی برآراش شده به آن نیز بیانگر این موضوع است. رابطه و تحلیل آماری آن به صورت رابطه ۱۷ ارائه شده است:

$$\begin{aligned} \alpha_A &= 0.073 \alpha_S + 0.0811 \\ r^2 &= 0.021, \quad n=30, \quad SE=0.0455, \quad P=0.0443 \end{aligned} \quad (17)$$

مفهوم محیط متشابه اشاره دارد به این‌که خاک‌ها در موقعیت‌های مختلف در یک منطقه داده شده باید تخلخل یکسان و توزیع اندازه منافذ مشابهی داشته باشند و نباید با زمان و درجه اشباع تغییر کنند (Miller & Miller, 1956). ولی در عمل، خاک‌ها از نظر تخلخل متفاوت‌اند و در نتیجه، بعید است که خاک‌های مزرعه مورد پژوهش شرایط مورد نیاز برای تشوری محیط متشابه را به طور کامل داشته باشد.

از لحاظ تئوری، اگر همه شرایط محیط متشابه صادق باشند، هر یک از پارامترهای S و A می‌تواند در محاسبات فاکتورهای مقیاس‌بندی استفاده شود و نتایج یکسانی ارایه کند. بنابراین، تفاوت معنی‌دار α_A و α_S (شکل ۵) را می‌توان به تفاوت در تخلخل و توزیع اندازه منافذ خاک‌ها نسبت داد.

بهینه‌سازی پارامترهای مقیاس‌بندی

داده‌های نفوذ مقیاس‌بندی شده بر اساس α_{opt} کاهش قابل توجهی در پراکندگی نقاط اطراف منحنی‌های

مقیاس‌بندی پارامترهای مدل

از داده‌های ۳۰ سری اندازه‌گیری مقادیر S و A در مکان‌های آزمایشی، فاکتورهای مقیاس‌بندی (α_S و α_A) با استفاده از روابط ۸ و ۹ محاسبه شد (جدول ۵) و داده‌های اندازه‌گیری شده (نفوذ اندازه‌گیری شده t در زمان t) بر طبق رابطه‌های ۱۲ و ۱۳ مقیاس‌بندی شدند. مقایسه‌ی داده‌های نفوذ اندازه‌گیری شده (شکل ۱) با داده‌های مقیاس‌بندی شده (شکل‌های ۳ و ۴) اشاره به این دارد که پراکندگی داده‌ها اطراف منحنی میانگین در داده‌های مقیاس‌بندی شده در مقایسه با داده‌های اصلی خیلی کمتر است. همچنین، واضح است که منحنی میانگین بر اساس \bar{S} و \bar{A} میانگین نفوذ مقیاس‌بندی شده را با α_S توصیف نمی‌کند (شکل ۳)، ولی در مقیاس‌بندی با α_A ، تقریباً منحنی میانگین نفوذ (بر اساس \bar{S} و \bar{A}) را توصیف می‌کند (شکل ۴).

نقاط مقیاس‌بندی شده بر اساس α_A به اندازه خیلی کم بالای منحنی میانگین قرار می‌گیرد در حالی که در مقیاس‌بندی بر اساس α_S ، نقاط کاملاً در زیر منحنی میانگین قرار می‌گیرد (شکل ۳ و ۴). ماقچیوال و همکاران (Machiwal *et al.*, 2006) نیز شبیه این نتیجه را گزارش کردند با این تفاوت که در نتایجی که ارائه داده‌اند، مقادیر نفوذ مقیاس‌بندی بر اساس α_A کاملاً در بالای منحنی میانگین قرار می‌گیرد.

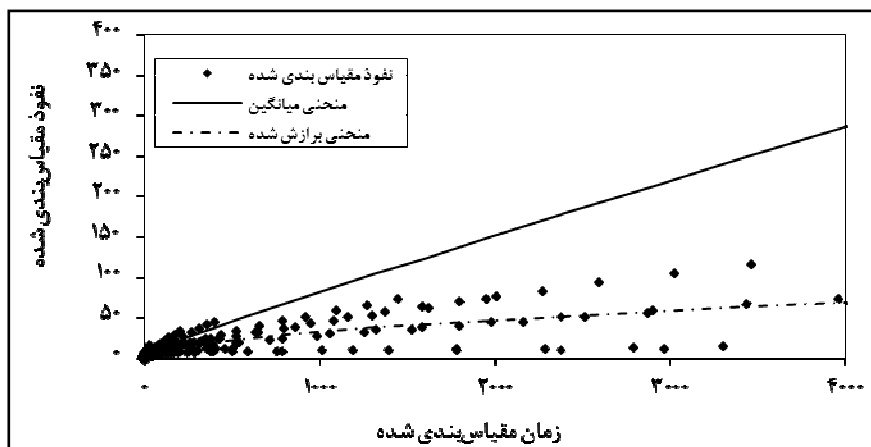
تطابق تقریبی نفوذ مقیاس‌بندی بر اساس α_A با منحنی میانگین در این پژوهش می‌تواند در تفاوت نوع آب کاربردی در اندازه‌گیری باشد. از آن‌جا که پساب دارای املاح است، این املاح می‌توانند تا اندازه‌ای باعث کاهش مقادیر فاکتور انتقال (A) شود فاکتور مقیاس‌بندی α_A مؤثر باشد.

مقادیر SSE بر پایه منحنی‌های میانگین و خوب برآراش شده (جدول ۶) اشاره دارد به این‌که مقیاس‌بندی

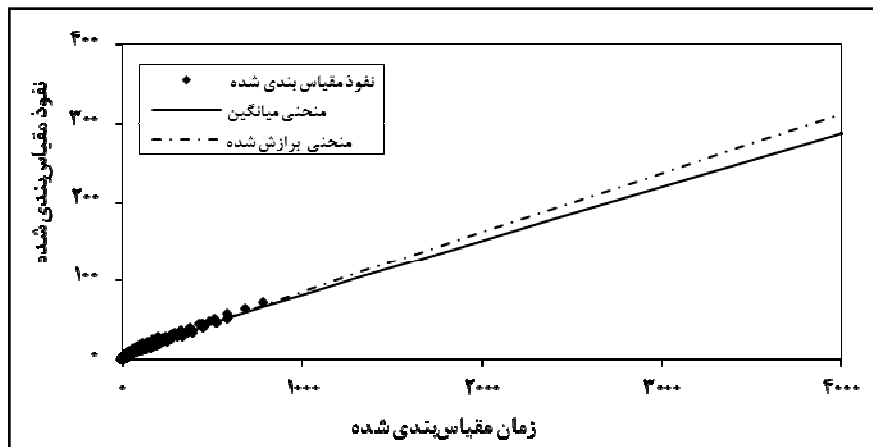
مقیاس‌بندی و بررسی تغییرات مکانی ویژگی‌های نفوذ...

بیشترین همبستگی α_{opt} با α_A و پس از آن با α_{SA}^H و α_{SA}^G دیده می‌شود. مقایسه خصوصیات آماری به دست آمده برای فاکتور مقیاس‌بندی α_A (جدول ۷) با خصوصیات به دست آمده از تحقیقات ماچیوال و همکاران (Machiwal *et al.*, 2006) برای آب معمولی نشان می‌دهد که تفاوت بارزی بین مقادیر میانگین‌ها و انحراف معیار و ضریب تغییرات وجود دارد. میانگین به دست آمده برای فاکتور مقیاس‌بندی α_A در آزمایش‌های ماچیوال و همکاران (Machiwal *et al.*, 2006)، برابر 0.857 ± 0.007 و در این پژوهش برای پساب تصفیه شده 0.896 ± 0.007 است که این تفاوت می‌تواند ناشی از تعداد اندازه‌گیری‌ها و نوع آب کاربردی باشد.

میانگین و خوب برازش شده نشان می‌دهند (شکل ۶) و مقادیر SSE آن به طور معنی‌داری کاهش یافت. مقادیر α_{opt} به دست آمده (جدول ۵) نشان می‌دهد که به جز در نقاط ۳، ۵، و ۶، در بقیه‌ی نقاط α_{opt} بین α_S و α_A قرار می‌گیرد. بنابراین، داده‌های نفوذ با استفاده از میانگین‌های حسابی، هندسی، هارمونیک (به ترتیب α_{SA}^H ، α_{SA}^a ، و α_{SA}^G) به عنوان فاکتورهای مقیاس‌بندی، مقیاس‌بندی شدن. کاربرد α_{SA}^a در مقایسه با α_S کاهش قابل توجهی در SSE نشان داد (جدول ۶). با استفاده از α_{SA}^H و α_{SA}^G نیز در مقدار SSE کاهش دیده شد ولی با استفاده از α_{SA}^H نتایج بهتری به دست آمد. همه فاکتورهای مقیاس‌بندی به جز α_S همبستگی خوبی با α_{opt} دارند (جدول ۷) که



شکل ۳- نفوذ و زمان مقیاس‌بندی شده با استفاده از فاکتور مقیاس‌بندی α_S .



شکل ۴- نفوذ و زمان مقیاس‌بندی شده با استفاده از فاکتور مقیاس‌بندی α_A .

جدول ۵- فاکتورهای مقیاس‌بندی محاسبه شده از پارامترهای

α_{opt} و A و S بهینه

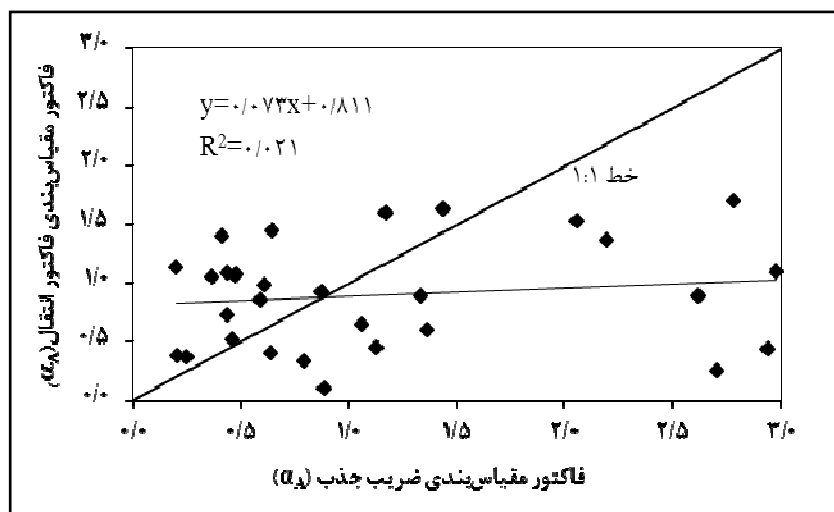
α_{opt}	α_S	α_A	نقاط اندازه‌گیری شده
۰/۰۴۲	۲/۷۰۵	۰/۲۵۳	۱
۰/۲۷۱	۰/۲۱۲	۰/۳۸۲	۲
۰/۳۱۳	۰/۴۶۵	۰/۵۱۷	۳
۰/۳۰۲	۰/۲۵۷	۰/۳۷۱	۴
۰/۴۷۶	۱/۰۶۴	۰/۶۴۶	۵
۰/۰۹۰	۱/۳۷	۰/۵۹۹	۶
۱/۶۰۴	۱/۴۴۱	۱/۶۲۷	۷
۰/۹۲۵	۰/۴۴۱	۰/۷۲۷	۸
۱/۱۴۹	۲/۶۱۹	۰/۸۸۹	۹
۰/۹۷۶	۱/۳۳۶	۰/۸۸۸	۱۰
۰/۹۲۱	۰/۴۴۰	۱/۰۸۸	۱۱
۱/۷۸۹	۲/۷۸۶	۱/۶۹۶	۱۲
۰/۹۰۱	۰/۴۷۷	۱/۰۵۵	۱۳
۰/۷۷۴	۰/۵۹۰	۰/۸۴۷	۱۴
۱/۰۸۲	۲/۰۶۱	۱/۵۲۷	۱۵
۰/۴۹۳	۰/۸۸۹	۰/۱۰۴	۱۶
۰/۹۱۲	۰/۸۷۶	۰/۹۲۴	۱۷
۱/۴۵۰	۲/۱۹۵	۱/۳۶۲	۱۸
۰/۸۶۱	۰/۲۰۷	۱/۱۳۲	۱۹
۰/۸۸۰	۰/۸۱۲	۰/۹۷۵	۲۰
۱/۳۰۶	۰/۶۴۹	۱/۴۴۳	۲۱
۰/۸۵۸	۰/۳۷۰	۱/۰۴۷	۲۲
۱/۳۳۱	۲/۹۷۸	۱/۰۹۳	۲۳
۱/۰۳۷	۱/۱۷۲	۱/۵۹۳	۲۴
۰/۵۰۷	۰/۶۴۳	۰/۴۰۰	۲۵
۱/۲۰۲	۰/۴۲۰	۱/۳۹۵	۲۶
۰/۰۳۸	۰/۷۹۹	۰/۳۳۷	۲۷
۰/۹۲۷	۰/۴۸۷	۱/۰۷۶	۲۸
۰/۶۷۷	۱/۱۲۹	۰/۴۴۶	۲۹
۰/۰۲۵	۲/۹۴۰	۰/۴۳۶	۳۰

جدول ۶- جمع مربع خطاهای فاکتورهای مقیاس‌بندی به روش‌های مختلف و پارامترهای مقیاس‌بندی شده برای ضریب جذب و فاکتور انتقال خاک

فاکتور مقیاس‌بندی	SSE	بر پایه‌ی منحنی میانگین	SSE بر پایه‌ی منحنی بروزاش شده	پارامترهای نفوذ مقیاس‌بندی شده	A^*	S^*
α_S	$۵/۹۲\times 10^{-۵}$		$۳/۶۷\times 10^{-۴}$		۰/۰۰۲	۰/۹۵۸
α_A	$۱/۱۹\times 10^{-۳}$		$۱/۱۰\times 10^{-۳}$		۰/۰۷۰	۰/۵۰۱
α_{SA}^a	$۳/۴۰\times 10^{-۴}$		$۱/۱۰\times 10^{-۳}$		۰/۰۳۱	۰/۷۰۴
α_{SA}^G	$۱/۲۵\times 10^{-۴}$		$۳/۱۱\times 10^{-۴}$		۰/۰۳۶	۰/۷۸۰
α_{SA}^H	$۶/۳۰\times 10^{-۳}$		$۱/۶۹\times 10^{-۳}$		۰/۰۳۷	۰/۸۵۵
α_{opt}	$۱/۰۴\times 10^{-۳}$		$۱/۰۴\times 10^{-۳}$		۰/۰۶۱	۰/۶۳۶

S^* ضریب جذب مقیاس‌بندی شده

A^* فاکتور انتقال مقیاس‌بندی شده



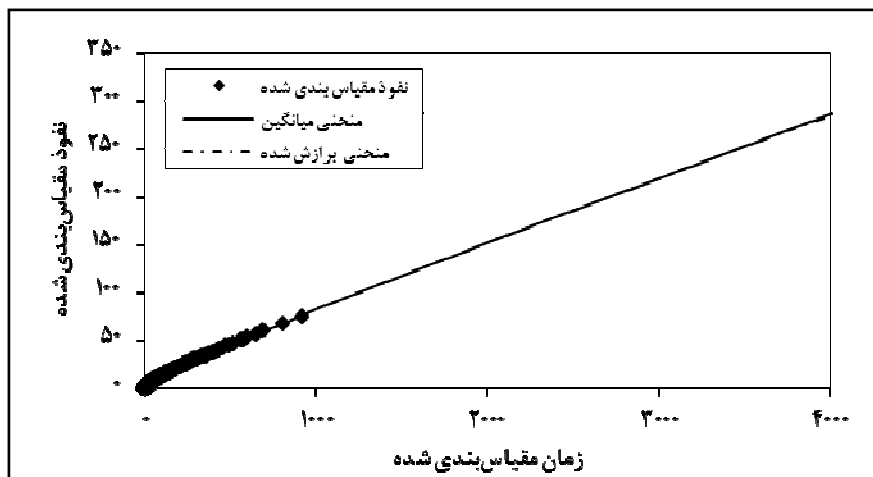
شکل ۵- رابطه بین فاکتور مقیاس‌بندی ضریب جذب و فاکتور مقیاس‌بندی فاکتور انتقال در منطقه مورد مطالعه.

جدول ۷- خصوصیات آماری فاکتورهای مقیاس‌بندی و همبستگی آن‌ها با فاکتور مقیاس‌بندی بهینه α_{opt} مربوط به کاربرد پساب و آب معمولی

خصوصیات آماری مربوط به کاربرد پساب						
ضریب همبستگی	میانگین هندسی	ضریب تغییرات	انحراف معیار	میانگین	فاکتور مقیاس‌بندی	
۰/۴۱	۰/۸۵	۰/۸۹	۰/۸۹	۱/۱۵	α_s	
۰/۹۲	۰/۷۵	۰/۴۵	۰/۴۵	۰/۸۹	α_A	
۰/۷۴	۰/۸۹	۰/۵۱	۰/۵۳	۱/۰۲	α_{SA}^a	
۰/۸۴	۰/۸۰	۰/۵۳	۰/۴۹	۰/۹۲	α_{SA}^G	
۰/۸۶	۰/۷۲	۰/۵۷	۰/۴۸	۰/۸۴	α_{SA}^H	
۱	۰/۷۹	۰/۴۷	۰/۴۲	۰/۸۹	α_{opt}	

خصوصیات آماری مربوط به کاربرد آب معمولی (Machiwal *et al.*, 2006)

ضریب همبستگی	میانگین هندسی	ضریب تغییرات	انحراف معیار	میانگین	فاکتور مقیاس‌بندی
۰/۷۷	۰/۵۳	۱/۱۴۳	۱/۶۲۲	۱/۴۱۹	α_{SA}^G
۰/۹۶	۰/۶۱	۰/۶۲۰	۰/۵۳۱	۰/۸۵۷	α_{SA}^H
۰/۸۸	۰/۷۱	۰/۸۷۷	۰/۹۹۸	۱/۱۳۸	α_{opt}
۰/۹۸	۰/۵۷	۰/۸۴۱	۰/۸۵۵	۱/۰۱۷	α_{SA}^G
۰/۹۴	۰/۴۵	۰/۸۱۶	۰/۷۵۳	۰/۹۲۳	α_{SA}^H
۱	۰/۵۳	۰/۶۸۷	۰/۶۰۳	۰/۸۷۸	α_{opt}

شکل ۶- نفوذ و زمان مقياس‌بندی شده بر اساس α_{opt} .

تعداد نمونه با استفاده از رابطه ۱۸ به دست می‌آید:

$$N = X_{\alpha'}^2 \sigma^2 / d^2 \quad (18)$$

تعداد مشاهدات در نمونه در سه سطح معنی‌داری ۹۰، ۹۵ و ۸۰ درصد و مقدار خطای ۵، ۱۰ و ۱۵ درصد در منطقه مورد مطالعه با استفاده از رابطه ۱۶ محاسبه شد (جدول ۸). نتایج نشان داد تعداد نمونه در α' و d های مختلف، بسیار متغیرند. همچنین، نشان داده شد که تعداد نمونه در این پژوهش (۳۰ اندازه‌گیری) با الزامات اندازه‌گیری $\alpha' = 0.1$ و $d = 0.15 \mu$ مطابقت دارد.

تعیین تعداد مشاهدات نمونه‌گیری

نمونه‌گیری، مشاهدات و آزمایش‌ها در مزرعه برای پژوهش نظری و کاربرد آن به منظور مطالعه روند تغییرپذیری مکانی خصوصیات نفوذ در خاک در مقیاس منطقه‌ای بسیار مهم است. به دلیل تغییرپذیری مکانی خاک، تعداد آزمایش‌های نفوذ نباید خیلی کم باشد و گرنه دقیق پایین آمده و حتی اشتباه می‌شود، و همین‌طور نمی‌تواند خیلی زیاد باشد زیرا وقت‌گیر است. بنابراین، تعداد نمونه‌گیری منطقی باید با هدف معتبر بودن و مناسب بودن، مشخص شود.

جدول ۸- نتایج آماری نمونه‌گیری منطقی

$d = 0.15 \mu$			$d = 0.1 \mu$			$d = 0.05 \mu$			α'
۰/۲	۰/۱	۰/۰۵	۰/۲	۰/۱	۰/۰۵	۰/۲	۰/۱	۰/۰۵	
۱۹	۳۱	۴۳	۴۲	۶۹	۹۸	۱۶۷	۲۷۵	۳۹۱	تعداد نمونه‌برداری

نقاط تحت پوشش به دست آورد. بدین‌منظور، با استفاده از نرم‌افزار ArcGIS با در نظر گرفتن مناسب‌ترین روش میان‌یابی، نقشه فاکتور مقیاس‌بندی α_A در منطقه مورد مطالعه رسم شد (شکل ۷). نتایج نشان می‌دهد که تغییرپذیری مکانی فاکتور مقیاس‌بندی α_A یک روند

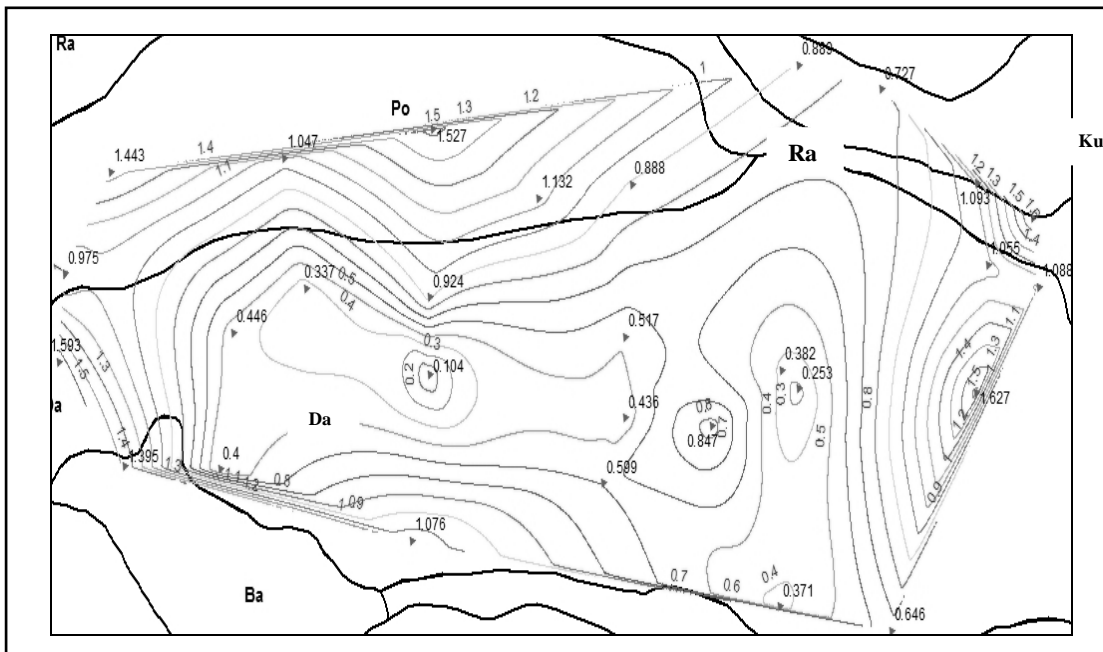
بررسی تغییرپذیری مکانی فاکتور مقیاس‌بندی α_A با توجه به تحلیل‌های قبل مشخص شد که پارامتر α_A با روش مقیاس‌بندی به مدل نفوذ بهتر منطبق می‌شود. اگر روند تغییرپذیری مکانی فاکتور مقیاس‌بندی α_A مشخص شود، می‌توان پارامترهای نفوذ منطقه را از بسط

مقیاس‌بندی و بررسی تغییرات مکانی ویژگی‌های نفوذ...

سری رامجردی، که نسبت به سری دانشکده و نمازی به مراتب رس کمتری دارد، نیز به همین ترتیب مقادیر بیشتری به خود می‌گیرد.

برای ارزیابی فاکتور مقیاس‌بندی پیش‌بینی شده با نرم‌افزار ArcGIS در منطقه مورد مطالعه، از مقادیر به دست آمده فاکتور مقیاس‌بندی a_A در 30° مکان استفاده شد (جدول ۹). مقایسه بین فاکتورهای مقیاس‌بندی و اندازه‌گیری نشان داد که درصد خطای نسبی در بیشتر نقاط، بالا و میانگین خطای در 27 نقطه، $39/1$ - است که این مقدار خطای منطقی نیست.

مشخص دارد. مقادیر a_A از مرکز منطقه مورد مطالعه به سمت اطراف در حال افزایش است و با دور شدن از مرکز، این مقدار افزایش می‌یابد. نگاهی به بافت خاک منطقه نشان می‌دهد که خاک اطراف، بیشتر از نوع لوم است (سری کوی اساتید و بمو) که درصد رس در آن‌ها به مراتب کمتر از بافت لومرسی است (سری دانشکده و پمپ نمازی) و این موضوع ثابت می‌کند که مقدار رس خاک تأثیر زیادی در خصوصیات نفوذ خاک دارد (جدول ۱). بنابراین فاکتور مقیاس‌بندی a_A در این نواحی با کمتر شدن رس خاک، مقادیر بیشتری به خود می‌گیرد.



شکل ۷- نقشه فاکتور مقیاس‌بندی a_A در منطقه باجگاه.

سری دانشکده، Po: سری نمازی، Ba: سری بمو، Ra: سری رامجردی، Ku: سری اساتید

خوبی پیش‌بینی نکرده است (رابطه ۱۹). بالا بودن میانگین خطای به دست آمده بین داده‌های اندازه‌گیری و پیش‌بینی شده نیز نشان‌دهنده این موضوع است. این داده‌ها با خط یک به یک نیز مقایسه شدند. پراکندگی داده‌ها اطراف خط یک به یک نشان داد که تطابق مناسبی بین داده‌های اندازه‌گیری و پیش‌بینی شده وجود ندارد.

به منظور ارزیابی بیشتر فاکتور مقیاس‌بندی a_A ، مقایسه‌ای بین مقادیر پیش‌بینی شده با استفاده از تابع kriging، به روش ArcGIS و مقادیر اندازه‌گیری شده با خط یک به یک در شکل ۸ نشان داده شده است. رابطه به دست آمده و تحلیل آماری نشان می‌دهد که نرم‌افزار ArcGIS فاکتور مقیاس‌بندی منطقه‌ای a_A را به

خاک از رگرسیون‌گیری چند متغیره با استفاده از نرم‌افزار Excel به صورت رابطه ۲۰ است.

$$a_A = -164/67 \quad d_g = 12/33 \quad \sigma_g = 0/330 \quad OM = 179/7 \quad (20)$$

$$r^2 = 0/34, \quad p(Intercept) = 0/024$$

$$p(d_g) = 0/025 \quad p(\sigma_g) = 0/035 \quad p(OM) = 0/023$$

پایین بودن r^2 نشان می‌دهد که علاوه بر میانگین و انحراف معیار هندسی، پارامترهای دیگر مثل رطوبت اولیه، رطوبت اشباع و یا چگالی ظاهری خاک بر فاکتور مقیاس‌بندی a_A مؤثرند که با قرار دادن آن‌ها احتمالاً نتیجه بهتری به دست می‌آمد.

$$y = 0/115x + 0/817 \quad (19)$$

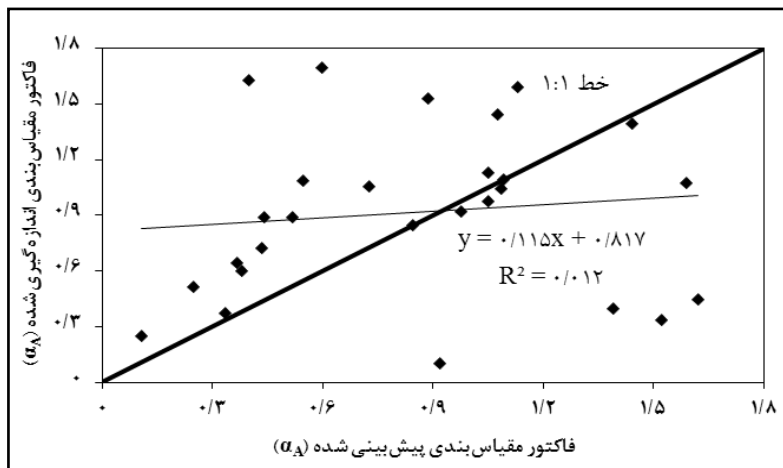
$$r^2 = 0/012, \quad SE = 0/45, \quad P = 0/057$$

رابطه بین فاکتور مقیاس‌بندی a_A و میانگین و انحراف معیار هندسی ذرات خاک

از آنجا که فاکتور مقیاس‌بندی a_A بهترین فاکتور شناخته شده، بین این فاکتور و پارامترهای زودیافت خاک رابطه‌ای به دست آمد تا علاوه بر دستیابی به رابطه‌ای ساده‌تر، اثر این پارامترها روی فاکتور مقیاس‌بندی بررسی شود. از این‌رو، با داشتن پارامترهای زودیافت خاک (درصد رس، درصد سیلت، و درصد شن) از روابط ۱۷ و ۱۹، d_g و σ_g برای پنج سری خاک مورد مطالعه به دست آمد. رابطه بین پارامتر مقیاس‌بندی با d_g و σ_g و ماده آلی

جدول ۹- مقایسه بین فاکتور مقیاس‌بندی a_A اندازه‌گیری و پیش‌بینی شده با استفاده از نرم‌افزار ArcGIS

شماره مکان‌ها	پیش‌بینی شده در ArcGIS	اندازه‌گیری شده	خطا (درصد)
۱	۰/۱۰	۰/۲۵۳	۵۸/۴
۲	۰/۲۵	۰/۵۱۷	۵۲
۳	۰/۳۳	۰/۳۷۱	۹/۷
۴	۰/۳۶	۰/۶۴۶	۴۳/۳
۵	۰/۳۷	۰/۵۹۹	۳۶/۸
۶	۰/۳۹	۱/۸۲۹	۷۵/۶
۷	۰/۴۳	۰/۷۲۷	۴۰/۲
۸	۰/۴۴	۰/۸۸۹	۵۰/۴
۹	۰/۵۱	۰/۸۸۸	۴۱/۹
۱۰	۰/۵۴	۱/۰۸۸	۴۹/۸
۱۱	۰/۵۹	۱/۶۹۶	۶۴/۹
۱۲	۰/۷۲	۱/۱۵۵	۳۱/۲
۱۳	۰/۸۴	۰/۸۴۷	۰/۳۰
۱۴	۰/۸۸	۱/۵۲۷	۴۱/۹
۱۵	۰/۹۱	۰/۱۰۴	-۷۸۳/۶
۱۶	۰/۹۷	۰/۹۲۴	-۵/۵
۱۷	۱/۰۵	۰/۱۳۲	۷/۳
۱۸	۱/۰۵	۰/۹۷۵	-۷/۶
۱۹	۱/۰۷	۱/۴۴۳	۲۵/۶
۲۰	۱/۰۸	۱/۰۴۷	-۳/۸
۲۱	۱/۰۹	۱/۰۹۳	۰/۰
۲۲	۱/۱۳	۱/۰۹۳	۲۹/۰
۲۳	۱/۱۳۹	۰/۴۰۰	-۲۴۷/۷
۲۴	۱/۱۴۴	۱/۳۹۵	-۳/۳
۲۵	۱/۱۵۲	۰/۳۳۷	-۲۵۱/۴
۲۶	۱/۱۵۸	۱/۰۷۶	-۴۷/۷
۲۷	۱/۱۶۱	۰/۴۴۶	-۲۶۳/۴
مقدار میانگین خطای			-۳۹/۱



شکل ۸- مقایسه بین فاکتور مقیاس‌بندی (a_A) پیش‌بینی شده در روش Kriging و اندازه‌گیری شده.

شرایط محیط متشابه در منطقه مورد مطالعه وجود ندارد.

فاکتورهای مقیاس‌بندی با کاهش مجموع مربع خطاهای بهینه شد و فاکتور مقیاس‌بندی بهینه a_{opt} برای مقیاس‌بندی به دست آمد. پارامترهای مقیاس‌بندی شده ضرایب مدل فیلیپ (S و A) به روش حداقل مربعات (Solver) برای منحنی خوب برآشش شده، به داده‌های مقیاس‌بندی شده با a_{opt} به ترتیب 0.636 و 0.61 به دست آمد. داده‌های نفوذ همچنین بر اساس سه میانگین (حسابی، هندسی، و هارمونیک) فاکتورهای مقیاس‌بندی α_S و α_A مقیاس‌بندی شدند. فاکتورهای مقیاس‌بندی جز α_S همبستگی نسبتاً خوبی با a_{opt} داشتند و همبستگی بیشتر (ضریب همبستگی $r=0.925$) با فاکتور مقیاس‌بندی α_A به دست آمد.

تعداد مشاهدات در نمونه با استفاده از روش آماری در سه سطح معنی‌داری و سه میزان خطای محاسبه شد و نتایج نشان داد که این مقادیر بسیار متغیرند و همچنین تعداد مشاهدات در نمونه‌های این پژوهش (۳۰ عدد) با سطح معنی‌داری $\alpha' = 0.15$ و $d = 0.1$ مطابقت دارد.

با توجه به این که فاکتور مقیاس‌بندی α_A بهترین فاکتور برای مقیاس‌بندی شناخته شد، روند تغییرپذیری مکانی آن در منطقه با استفاده از نرم‌افزار ArcGIS مورد

نتیجه‌گیری

در این پژوهش به تحلیل تغییرپذیری مکانی فرآیند نفوذ با استفاده از پساب تصفیه شده در زمین‌های دانشکده کشاورزی شیراز واقع در باجگاه پرداخته شده است. ۳۰ اندازه‌گیری به صورت تصادفی در منطقه مورد مطالعه با استفاده از استوانه‌های دوگانه انجام گرفت. داده‌های نفوذ مشاهده شده از مکان‌های آزمایشی با مدل فیلیپ برآشش شد. مشخص شد که سرعت نفوذ پایه خاک در اغلب مکان‌ها کم است (میانگین 0.619 سانتی‌متر در دقیقه) و از 0.001 تا 0.178 سانتی‌متر در دقیقه تغییر می‌کند. پارامترهای مدل نفوذ در پنج نقطه از ۳۰ مکان، منفی به دست آمد که نشان‌دهنده ناهمگنی خاک و یکنواخت نبودن رطوبت خاک عمقی در آن نقاط است.

رابطه بین پارامترهای مدل فیلیپ (S و A) معنی‌دار نشد (ضریب همبستگی $r=0.21$). پارامترهای مدل فیلیپ (S و A) از طریق فاکتورهای α_S و α_A ، مقیاس‌بندی شدند. بر اساس مجموع مربع خطاهای (SSE) برای منحنی‌های میانگین و خوب برآشش شده، مشخص شد که مقیاس‌بندی با α_A بهتر است. تفاوت بین فاکتورهای مقیاس‌بندی (α_S و α_A) معنی‌دار شد؛ بنابراین می‌توان نتیجه گرفت که چون بافت خاک‌ها با هم متفاوت‌اند،

نداشته است. همچنین، رابطه‌ای بین فاکتور مقیاس‌بندی α_A و میانگین و انحراف معیار هندسی ذرات خاک به دست آمد. پایین بودن r^2 در این رابطه نشان می‌دهد که علاوه بر میانگین و انحراف معیار هندسی ذرات خاک، پارامترهای دیگری نیز بر فاکتور مقیاس‌بندی مؤثرند. اگر این پارامترها در رابطه وارد می‌شوند ممکن بود رابطه بهتری به دست آید که بتوان از آن برای تخمین فاکتور مقیاس‌بندی استفاده کرد.

مطالعه قرار گرفت. نتایج نشان می‌دهد که این فاکتور در منطقه روند مشخصی دارد و از مرکز منطقه به سمت اطراف، افزایش می‌یابد. نتایج بررسی‌ها نشان می‌دهد که مقدار رس خاک از مرکز به سمت خارج رو به کاهش است و این کاهش تأثیری بسزا در خصوصیات نفوذ خاک دارد. اما محاسبه مقادیر پیش‌بینی شده با استفاده از نرم‌افزار ArcGIS و مقایسه آن با داده‌های اندازه‌گیری نشان می‌دهد که این نرم‌افزار تحلیل تغییرپذیری مکانی خوبی

مراجع

- Ahuja, L. R., Kozak, J. A., Andales, A. A. and Ma, L. 2007. Scaling parameters of the Lewis-Kostiakov water infiltration equation across soil textural classes and extension to rain infiltration. T. ASABE. 50(5): 1525-1541.
- Amindin, E. and Sepaskhah. A. R. 2011. Effects of treated waste water on hydraulic conductivity, hydraulic diffusivity and soil water retention curve. Research Project Report. Irrigation Department. Shiraz University. Shairaz. Iran. (in Farsi)
- Bonsu, M. 1997. Scaling infiltration using parameters of Philip infiltration equation. J. App. Sci. Technol. 2(1-2): 1-6.
- Bouwer, H., Back, J. T. and Oliver, J. M. 1999. Predicting infiltration and ground-water mounds for artificial recharge. J. Hydrol. Eng. 4(4): 350-357.
- Green, W. H. and Ampt, G. A. 1911. Studies of soil physics: I. Flow of air and water through soils. J. Agric. Sci. 4(1): 1-24.
- Hassan-Li, A. M. and Javan, M. 2005. Evaluation of municipal treated wastewater and its application in landscape (Case study: Marvdasht wastewater treatment plant). J. Environ. Study. 38, 23-30. (in Farsi)
- Holtan, H. N. 1961. A Concept for Infiltration Estimates in Watershed Engineering. U. S. Department of Agriculture (USDA). Agricultural Research Service. Bulletin 41-51.
- Horton, R. E. 1940. An approach towards a physical interpretation of infiltration capacity. Soil Sci. Soc. Am. Proc. 5, 399-417.
- Kostiakov, A. N. 1932. On the dynamics of the coefficient of water percolation in soils and on the necessity of studying it from a dynamic point of view for the purposes of amelioration. Transactions of 6th Congress if Inter-national Society of Soil Science. Moscow. Russian. 17-21.
- Lei, Z. D., Yang, S. X. and Xie, S. C. 1986. One-step method of scaling the soil hydraulic properties in the field. J. Hydraulic Eng. 12, 1-10.
- Machiwal, D., Madan, K. J. and Mal, B. C. 2006. Modelling infiltration and quantifying spatial soil variability in a wasteland of Kharagpur, India. Biosyst. Eng. 95(4): 569-582.
- Miller, E. E. and Miller, R. D. 1956. Physical theory for capillary flow phenomena. J. Appl. Phys. 27, 324-332.

- Nielsen, D. R., Hopmans, J. W. and Reichardt, K. 1998. An Emerging Technology for Scaling Field Soil-Water Behavior. In: Sposito, G. (Ed.) *Scale Dependence and Scale Invariance in Hydrology*. Cambridge University Press. Cambridge. U. K.
- Philip, J. R. 1957. The theory of infiltration-3: moisture profiles and relation to experiment. *Soil Sci.* 84(2): 163-178.
- Philip, J. R. 1987. The infiltration joining problem. *Water Resour. Res.* 23(12): 2239-2245.
- Rasoulzadeh, A. and Sepaskhah, A. R. 2003. Scaled infiltration equations for furrow irrigation. *Biosyst. Eng.* 86(3): 375-383.
- Sepaskhah, A. R. 1996. Application of three points Philip equation in estimation of saturated hydraulic conductivity. Second National Congress on Soil and Water Issues. Tehran. Iran (in Farsi)
- Sharma, M. L., Gander, G. A. and Hunt, C. G. 1980. Spatial variability of infiltration in a watershed. *J. Hydrol.* 45(1-2): 101-122.
- Shirazi, M. A. and Boersma, L. 1984. A unifying quantitative analysis of soil texture. *Soil Sci. Soc. Am. J.* 48(1): 142-147.
- Talsma, T. 1969. In situ measurement of sorptivity. *Aust. J. Soil Res.* 7, 269-276.
- Tillotson, P. M. and Nielsen, D. R. 1984. Scale factors in soil science. *Soil Sci. Soc. Am. J.* 48(5): 953-959.
- Warrick, A. W. and Nielsen, D. R. 1980. Spatial variability of Soil Physical Properties in the Field. In: Hillel, D. (Ed.) *Applications of Soil Physics*. Academic Press. NewYork.
- Warrick, A. W., Mullen, G. J. and Nielsen, D. R. 1977. Prediction of the soil-water flux based upon field-measured soil-water properties. *Soil Sci. Soc. Am. J.* 41(1): 4-19.

Spatial Variability of Infiltration Characteristics at Watershed Scale: A Case Study of Bajgah Plain

F. Mehrabi* and A. R. Sepaskhah

* Corresponding Author: M. Sc. Irrigation and Drainage Engineering. Shiraz University, College of Agriculture, Department of Water Engineering. Bajgah, Shiraz, Iran. E-mail: mehrabi_223@yahoo.com

Received: 11 March 2012, Accepted: 8 September 2012

Study of the spatial variability of infiltration characteristics is essential to estimating infiltration parameters on a local scale. The objectives of the present study were to scale the parameters of a Philip two-term model for infiltration and survey the variability of infiltration characteristics geostatistically using wastewater in the Bajgah catchment. Infiltration was measured at 30 points in a random pattern over the study area using double rings. Infiltration characteristics in the area showed a low basic infiltration rate for most sites ($0.001\text{-}0.178 \text{ cm/min}^{-1}$). The Philip infiltration model, the best model to describe infiltration characteristics, was fitted to the data. The parameters (sorptivity, hydraulic conductivity) showed wide variation across the sites. The sorptivity-based scaling factor (α_s) and the hydraulic-based scaling factor (α_A) were computed and the observed infiltration data were scaled based on these values. Results showed that scaling achieved using α_A was better than that obtained using α_s . The optimum scaling factors (α_{opt}) were determined using the least squares method (Solver option) and scaling was repeated using α_{opt} . Scaling factors based on the arithmetic, geometric and harmonic means of α_s and α_A were also computed. It was found that α_{opt} and α_A scaled the infiltration data more effectively (with lowest sum of squares error) than the other scaling factors. The results showed that the study area has high spatial variability. A map of α_A developed using ArcGIS software showed that α_A increased from the center to the surrounding areas as soil clay content decreased.

Keywords: Hydraulic Conductivity, Philip Model, Scaling Factor, Sorptivity, Spatial Variability